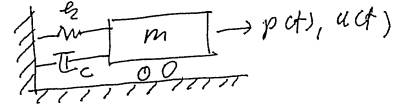


"Complex Frequency Response"

(1)

The topic of "response of SDOF systems to harmonic excitation" is extremely important, not only because many SDOF structures are subjected to harmonic excitation, but also because the results of this topic can also be extended to treat MDOF structures and structures subjected to more complex types of excitation.



$$m\ddot{u} + c\dot{u} + ku = p_0 \cos(\Omega t) \quad \dots (16)$$

$$u_p = U \cos(\Omega t - \alpha) \quad \dots (17)$$

Steady state response amplitude \neq phase angle of the response to the excitation

← 이 해의 solution form 이 가동하는가?

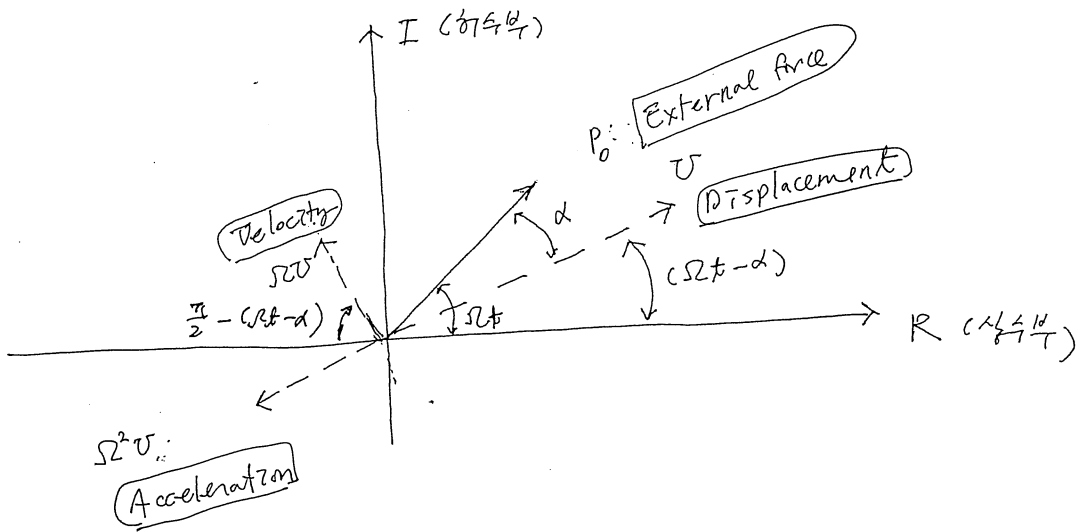
Steady state response

- ① damping term 이 $\neq 0$
- ② $u_p = A \sin \Omega t + B \cos \Omega t$

$$\dot{u}_p = -\Omega U \sin(\Omega t - \alpha) \quad \dots (18)$$

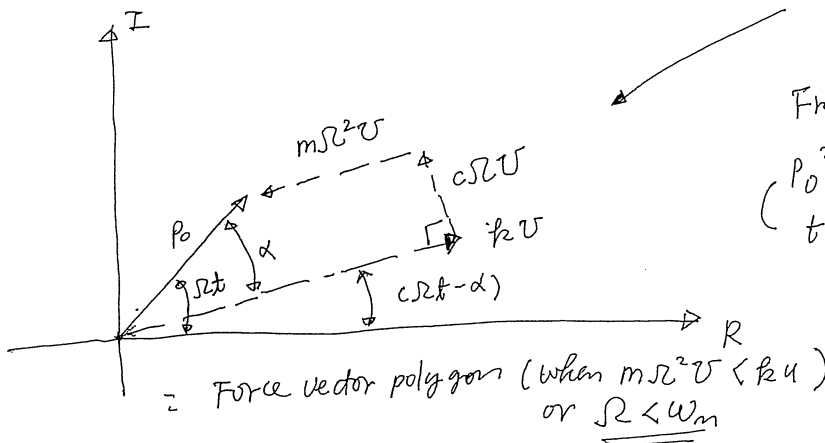
$$\ddot{u}_p = -\Omega^2 U \cos(\Omega t - \alpha)$$

$$= -\Omega^2 u_p$$



= Rotating vectors representing $P, u, \dot{u},$ and \ddot{u} in complex plane.

→ $\frac{P_0}{U}$ 이 이진 정사영의 크기 = (17) 식을 (16) 식에 대입했을 때 force polygon 이 구성되는데 상용 (동일 방향) 방향 식을 만족하는



From "geometry",

$$P_0^2 = (m\Omega^2 U - kU)^2 + (c\Omega U)^2$$

$$\tan \alpha = \frac{c\Omega U}{kU - m\Omega^2 U} = \frac{c\Omega}{k - m\Omega^2}$$

"동일한 크기의 인가" 이하 상용

The use of vectors in the complex plane greatly simplifies many response calculations.
frequency

$$m \ddot{u}_R + c \dot{u}_R + k u_R = P_0 \cos \Omega t \quad \dots (24)$$

The subscript R (for projection onto the real axis) is used to designate the steady-state motion due to cos Ωt excitation.

$$u_R = U \cos (\Omega t - \alpha) \quad \dots (25)$$

likewise,

(sin Ωt excitation)

$$\begin{cases} m \ddot{u}_I + c \dot{u}_I + k u_I = P_0 \sin \Omega t & \dots (26) \\ u_I = U \sin (\Omega t - \alpha) & \dots (27) \end{cases}$$

Now, if Eq. (26) is multiplied by $i = \sqrt{-1}$ and added to Eq. (24), and Euler's formula is used, there results

$$m \ddot{\bar{u}} + c \dot{\bar{u}} + k \bar{u} = \bar{P} = P_0 e^{i\Omega t} \quad \dots (28)$$

$$\bar{u} = u_R + i u_I \quad \dots (29)$$

where a bar denotes a vector in the complex plane. Eq. (28) is called the complex equation of motion, and the vector \bar{u} is called the complex response.

It is understood that the actual steady-state response will be given by either the real part of \bar{u} or its imaginary part, depending upon whether the excitation is of $\cos \Omega t$ or $\sin \Omega t$.

The steady-state solution of Eq. (28) may be assumed to have the form

$$\bar{u} = \bar{U} e^{i\Omega t} \quad \dots (30)$$

where \bar{U} is the complex amplitude.

← 각변의 미미하고 'odd, even'의 무관한 solution form 이기 때문

↳ (각변의 진폭은 항상 2042만 있고, phase는 0 또는 π)

The complex amplitude \bar{U} may also written

$$\bar{U} = U e^{-i\alpha} \quad \dots (31)$$

where U and α are the same amplitude and phase angle introduced in Eq. (17).

$$\begin{aligned} \text{Note: } \bar{u} &= \bar{U} e^{i\Omega t} = \underbrace{U e^{-i\alpha}} e^{i\Omega t} = U e^{i(\Omega t - \alpha)} \\ &= U \{ \cos(\Omega t - \alpha) + i \sin(\Omega t - \alpha) \} \end{aligned}$$

(30) \rightarrow (28) on complex notation \rightarrow (28),

$$\bar{U} = \frac{P_0}{(k_2 - m\Omega^2) + ic\Omega} \quad \dots (32)$$

$$= \frac{P_0/k_2}{(1 - (\frac{\Omega}{\omega_n})^2) + i \frac{c}{k_2} \frac{\Omega}{\omega_n}} = \frac{U_0}{(1 - r^2) + i(2\zeta r)}$$

\swarrow Eq. static response

Define

$$\bar{H}(\Omega) \equiv \frac{\bar{U}}{U_0} = \frac{1}{(1 - r^2) + i(2\zeta r)} \quad \dots (33)$$

the complex frequency response (function)

\leftarrow (정적 응답에 대한 진폭과 위상 응답의 비)

- A summary of a couple of results from the theory of complex numbers.

7) Rectangular and polar representation.

$$\bar{A} = A_R + i A_I \quad \dots (34a)$$

$$= A e^{i\alpha} \quad \dots (34b)$$

$$A \equiv |\bar{A}| = \sqrt{A_R^2 + A_I^2} \quad \dots (34c)$$

$$\alpha = \tan^{-1} \left(\frac{A_I}{A_R} \right) \quad \dots (34d)$$

ii) Quotient of two complex numbers

$$\frac{\bar{B}}{\bar{A}} = \frac{B e^{i\beta}}{A e^{i\alpha}} = \left(\frac{B}{A}\right) e^{i(\beta-\alpha)} \quad \dots (35)$$

polar form

Back to the problem.

Then, the amplitude and the phase of the quotient in (33) is

$$\bar{H}(\Omega) = \frac{\bar{U}}{U_0} = \frac{e^{i(0)} = 1}{\sqrt{(1-r^2)^2 + (2\zeta r)^2} \left(\frac{1-r^2}{\sqrt{\dots}} + i \frac{2\zeta r}{\sqrt{\dots}} \right)} e^{i\alpha}$$

where $\alpha = \tan^{-1} \left(\frac{2\zeta r}{1-r^2} \right)$

$$= \frac{1}{\sqrt{\dots}} e^{-i\alpha}$$

중요한 결과!

$|\bar{H}(\Omega)|$

따라서, $\bar{U} = \frac{U_0 |\bar{H}(\Omega)|}{i} e^{-i\alpha} = U e^{-i\alpha}$

$\underline{\underline{u}} = \underline{\underline{\bar{U}}} e^{i\Omega t} = U e^{-i\alpha} e^{i\Omega t} = \underline{\underline{U}} e^{i(\Omega t - \alpha)}$

In summary, the four steps employed in using complex vectors to determine the steady-state responses are:

1. Write the differential equation in terms of complex excitation and complex response, Eq. (28)
2. Assume a solution with complex amplitude \bar{U} as in Eq. (30).
3. Substitute the assumed response into the differential equation to obtain an expression for $\bar{H}(\Omega) (= \frac{\bar{U}}{U_0})$.
4. Use Eqs. (34) and (35) to get the amplitude and phase of the complex frequency response.

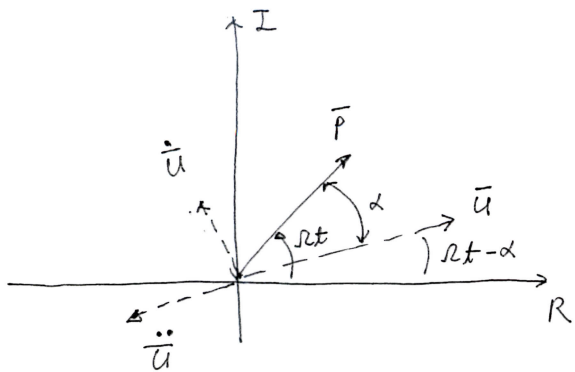
The force vector polygon presented previously can now be related directly to the complex differential equation, Eq. (28).

$$\bar{u} = \bar{U} e^{i\Omega t}$$

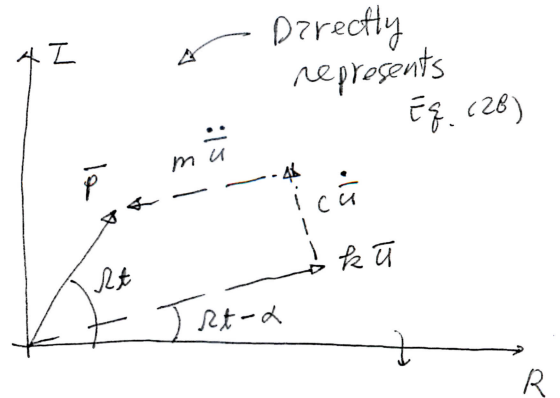
$$\dot{\bar{u}} = i\Omega \bar{U} e^{i\Omega t} = i\Omega \bar{u} = \Omega \cdot \bar{u} e^{i(\Omega t + \frac{\pi}{2})} = \Omega \bar{U} e^{i(\Omega t + \frac{\pi}{2})} \quad \begin{matrix} \uparrow \\ 90^\circ \end{matrix}$$

$$\ddot{\bar{u}} = \dots = -\Omega^2 \bar{u} = \Omega^2 \bar{u} e^{i(\Omega t + \pi)} = \Omega^2 \bar{U} e^{i(\Omega t + \pi)} \quad \begin{matrix} \uparrow \\ 180^\circ \end{matrix}$$

(-1)



(a)



(b)

∴ Complex vector notation for rotating vectors

$$|\bar{P}|^2 = |k\bar{u} - m\ddot{\bar{u}}|^2 + |c\dot{\bar{u}}|^2$$

The vector response plot (Nyquist plot or Argand plot)

진폭과 위상 응답을 나타내는 2차원 그림
 복소 평면에서 상의 2차원, (33)사 이용

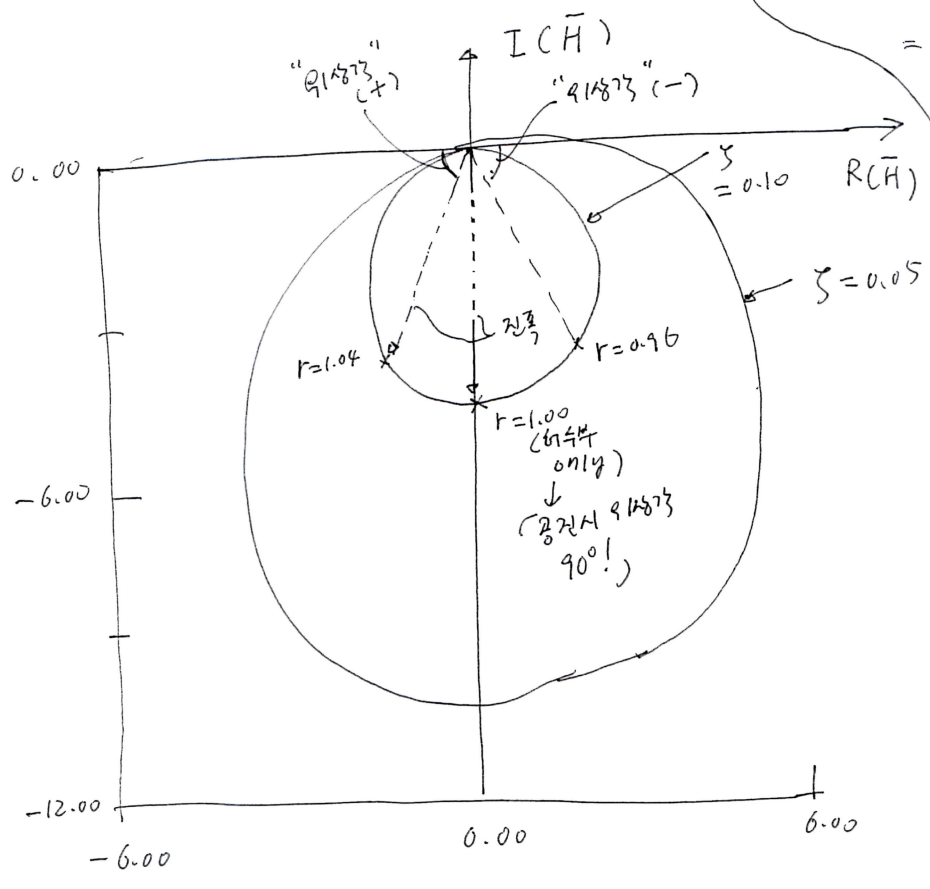
HW #.

$\zeta = 0.1, 0.05$ 에 대한 vector response diagram을 작성하라.

$$\bar{H}(s) = \frac{1}{(1-r^2) + i(2\zeta r)}$$

$$= \frac{(1-r^2) - i(2\zeta r)}{\sqrt{(1-r^2)^2 + (2\zeta r)^2}}$$

where $r = \frac{\omega}{\omega_n}$



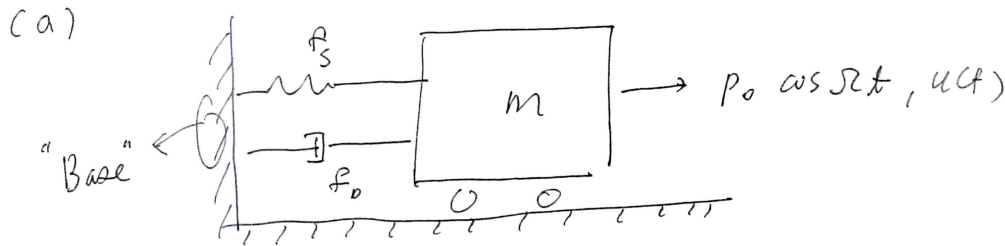
Application to Vibration Isolation problem

(2)

- (a) Force transmitted to the base (force transmissibility)
- (b) Moving base

It is convenient, although not essential, to use complex frequency response technique to solve these two problems.

"0121
chopra 23 n14
762 2"



The force transmitted to the base in vector form,

$$\begin{aligned} \bar{f}_{tr} &= \bar{f}_s + \bar{f}_d = k\bar{u} + c\dot{\bar{u}} \quad \left\{ \begin{array}{l} \bar{u} = \bar{v} e^{i\Omega t} \\ \dot{\bar{u}} = i\Omega \bar{v} e^{i\Omega t} \end{array} \right. \\ &= (k + ic\Omega) \bar{v} e^{i\Omega t} \\ &= \frac{(k + ic\Omega) v_0}{(1 - r^2) + i(2\zeta r)} \times e^{i\Omega t} = \left[\frac{1 + i(2\zeta r)}{(1 - r^2) + i(2\zeta r)} \right] k v_0 e^{i\Omega t} \end{aligned}$$

$$\text{magnitude } \left| \bar{f}_{tr} \right| = \frac{\sqrt{1 + (2\zeta r)^2}}{\sqrt{(1 - r^2)^2 + (2\zeta r)^2}} \times k v_0$$

$$\therefore TR \equiv \frac{\bar{f}_{tr}}{k v_0} = \boxed{\quad}$$

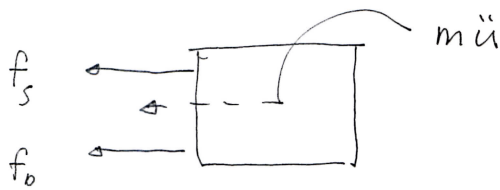
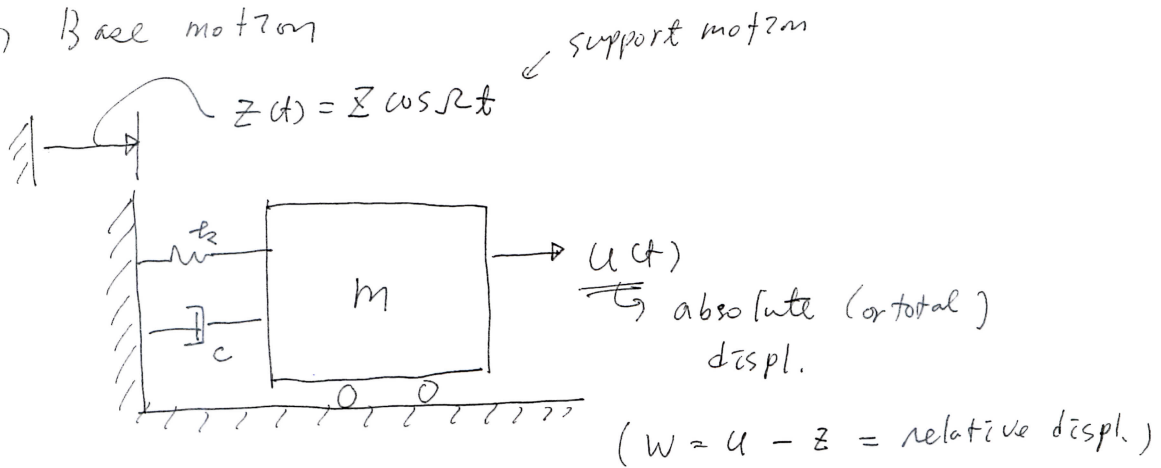
polar form $A e^{i\alpha}$

polar form $B e^{i\beta}$

$\frac{A}{B} k v_0 e^{i(\alpha - \beta)}$

$|e^{i\alpha}| = 1.0$

(b) Base motion



$$f_s = k(u - z) = k w$$

$$f_d = c(\dot{u} - \dot{z}) = c \dot{w}$$

$$\sum X_i = 0, \quad m \ddot{u} + c(\dot{u} - \dot{z}) + k(u - z) = 0$$

$$m \ddot{u} + c \dot{u} + k u = c \dot{z} + k z \quad \dots (a)$$

or $m(\ddot{w} + \ddot{z}) + c\dot{w} + kw = 0$

$$m \ddot{w} + c \dot{w} + k w = -m \ddot{z} \quad \dots (b)$$

By using the complex exponential representation $\bar{z} = Z e^{i\Omega t}$

$$m \ddot{\bar{u}} + c \dot{\bar{u}} + k \bar{u} = c \dot{\bar{z}} + k \bar{z} = (k + i\Omega c) \bar{z} e^{i\Omega t} \quad \dots (44)$$

$$m \ddot{\bar{w}} + c \dot{\bar{w}} + k \bar{w} = -m \ddot{\bar{z}} = (+\Omega^2 m) \bar{z} e^{i\Omega t} \quad \dots (45)$$

Assuming complex steady-state responses of the form

$$\bar{u} = \bar{v} e^{i\Omega t}, \quad \bar{w} = \bar{w} e^{i\Omega t} \quad \dots (46)$$

We get the complex response functions,
 frequency

$$\frac{\bar{v}}{\bar{z}} = \frac{k + i\Omega c}{(k - m\Omega^2) + i\Omega c}, \quad \frac{\bar{w}}{\bar{z}} = \frac{m\Omega^2}{(k - m\Omega^2) + i\Omega c}$$

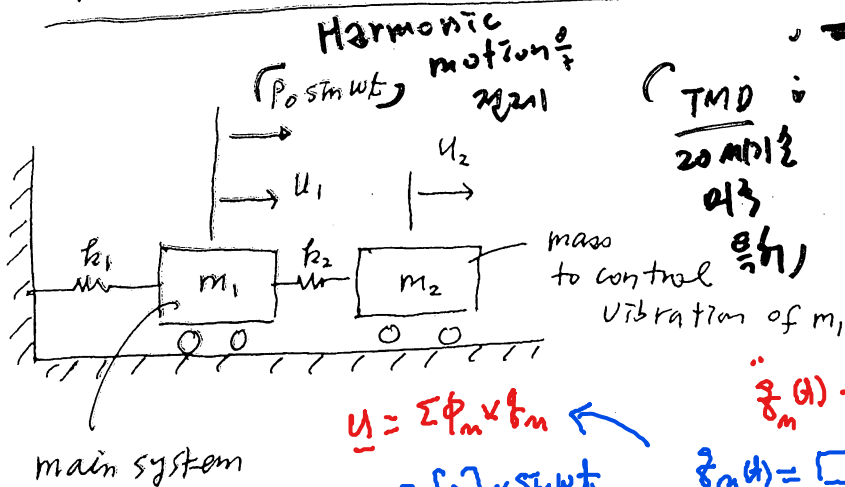
LTF system

$\langle \frac{1}{12} \omega^2 \frac{1}{2} \omega^2 \rangle$
12%

'Passive'

①

Two-DOF systems without damping : Tuned Mass Damper



TMD : Vibration absorbers to be in resonance with a particular mode of the structure.

$u = \sum \phi_m \times \xi_m$
 $= [i] \times \sin \omega t$

$\ddot{x}_m(t) + \omega_m^2 \xi_m(t) = \sum_{-m}^m \{P_0\} \times \sin \omega t$
 $\xi_m(t) = [] \times \sin \omega t = \xi_m \cdot \sin \omega t$

Eg. of motion :
$$\begin{bmatrix} m_1 & 0 \\ 0 & m_2 \end{bmatrix} \begin{Bmatrix} \ddot{u}_1 \\ \ddot{u}_2 \end{Bmatrix} + \begin{bmatrix} k_1+k_2 & -k_2 \\ -k_2 & k_2 \end{bmatrix} \begin{Bmatrix} u_1 \\ u_2 \end{Bmatrix} = \begin{Bmatrix} P_0 \\ 0 \end{Bmatrix} \sin \omega t \quad \dots (1)$$

Because the system is undamped, the steady-state solution can be assumed as

$$\begin{Bmatrix} u_1(t) \\ u_2(t) \end{Bmatrix} = \begin{Bmatrix} u_{10} \\ u_{20} \end{Bmatrix} \times \sin \omega t \quad \dots (2)$$

mode superposition method
모드중첩법

Substituting this into Eq. (1),

$$\begin{bmatrix} k_1+k_2 - m_1 \omega^2 & -k_2 \\ -k_2 & k_2 - m_2 \omega^2 \end{bmatrix} \begin{Bmatrix} u_{10} \\ u_{20} \end{Bmatrix} = \begin{Bmatrix} P_0 \\ 0 \end{Bmatrix} \quad \dots (3)$$

or
$$[\underline{k} - \omega^2 \underline{m}] \begin{Bmatrix} u_{10} \\ u_{20} \end{Bmatrix} = \begin{Bmatrix} P_0 \\ 0 \end{Bmatrix} \quad \dots (4)$$

$$\begin{Bmatrix} u_{10} \\ u_{20} \end{Bmatrix} = \frac{\text{adj} [\underline{k} - \omega^2 \underline{m}]}{\det [\underline{k} - \omega^2 \underline{m}]} \times \begin{Bmatrix} P_0 \\ 0 \end{Bmatrix} \quad \dots (5)$$

or
$$u_{10} = \frac{P_0 (k_2 - m_2 \omega^2)}{m_1 m_2 (\omega^2 - \omega_1^2) (\omega^2 - \omega_2^2)} ; u_{20} = \frac{P_0 k_2}{(\quad)}$$

$(\omega_1 \neq \omega_2 \text{ 이 } \det [\underline{k} - \omega^2 \underline{m}] = 0 \text{ 이 } \text{아} \text{니} \text{라})$
2-DOF의 1차, 2차 frequency.
2차, 1차 주파수

Damping
감쇠
가득
H/W
항안

Example: $m_1 = 2m, m_2 = m, k_1 = 2k, k_2 = k$ 이면

TMD가 가벼운 2/2가 아닌 main system에 1/2 인 경우

↳ Not good! (too heavy)

$\omega_1 = \sqrt{k/2m}, \omega_2 = \sqrt{2k/m}$ 이 되므로 $\omega_2 = \sqrt{4(\frac{k}{2m})} = 2\omega_1$

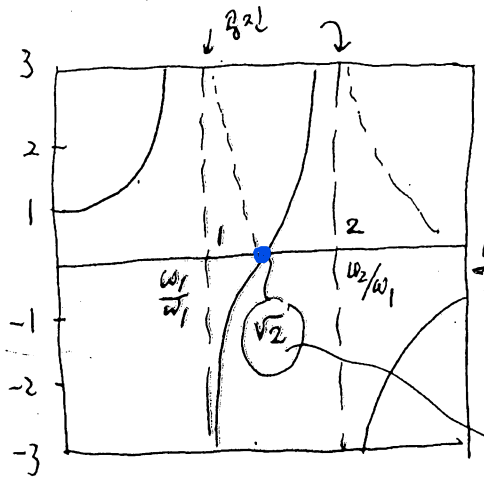
↳ 1/2 mass ratio $\mu = 0.50$

$$\frac{u_{10}}{(u_{1st})_0} = \frac{1 - \frac{1}{2}(\omega/\omega_1)^2}{[1 - (\omega/\omega_1)^2][1 - (\omega/\omega_2)^2]} \quad (7)$$

$$\frac{u_{20}}{(u_{2st})_0} = \frac{1}{[1 - (\omega/\omega_1)^2][1 - (\omega/\omega_2)^2]}$$

where $(u_{1st})_0 = P_0/2k; (u_{2st})_0 = P_0/2k$

Main system response



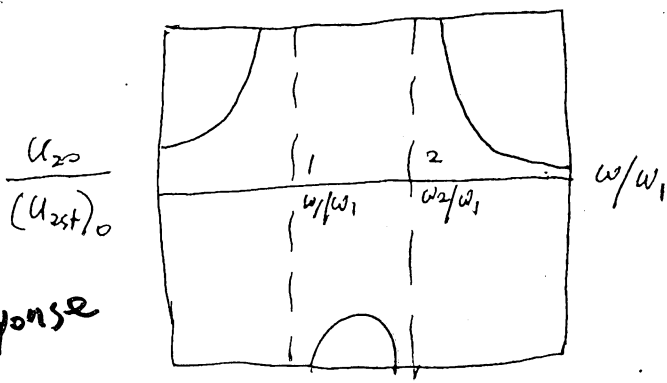
Depend on frequency ratios (ω/ω_1) and (ω/ω_2) , not separately on ω_1, ω_2 and ω_2 .

(note: $\omega_1 < \omega_2$)

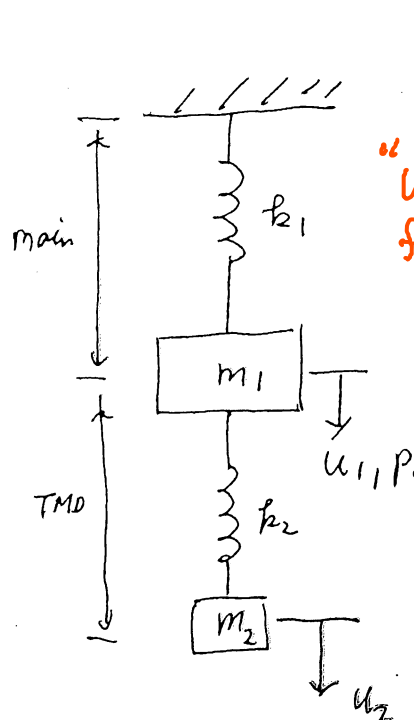
m_1 경사 (TMD m_2/m_1 비율이) $\rightarrow \omega/\omega_1 = \sqrt{2}$ or $\omega_1 = \frac{\omega}{\sqrt{2}}$

↳ the entire basis of TMD

TMD response



(The basic principle of a vibration absorber)
 without getting into the many important aspects of its practical design.
 "symbol error"



Eg (6) on p $\omega_1^* = \sqrt{\frac{k_1}{m_1}}, \omega_2^* = \sqrt{\frac{k_2}{m_2}}$

$\mu = \left(\frac{m_2}{m_1}\right)$ mass ratio

"Uncoupled" frequencies

$$u_{10} = \frac{P_0}{k_1} \times \frac{1 - (\omega/\omega_2^*)^2}{[1 + \mu (\omega_2^*/\omega_1^*)^2 - (\omega/\omega_1^*)^2] \times [1 - (\omega/\omega_2^*)^2] - \mu (\omega_2^*/\omega_1^*)^2} \quad \dots (a)$$

$$u_{20} = \frac{P_0}{k_2} \times \dots (b)$$

$\omega = \omega_2^*$ 이 아닌 아래 완전히 무시

Specialization

$\mu = 0.2, \omega_1^* = \omega_2^*$ 가짐 (은 TMD는 main system의 고유 주파수와 일치) \rightarrow 대질량 사용

$\frac{1}{5} \rightarrow$ Not good, too heavy!

$$\frac{u_{10}}{(u_{1st})_0} = \frac{1 - (\omega/\omega_1^*)^2}{[1 + \mu - (\omega/\omega_1^*)^2] [1 - (\omega/\omega_1^*)^2] - 0.2} \leq 1$$

mass ratio가 작아지면 이 범위의 응답이 작아짐

Operating range: $(u_{10}/(u_{1st})_0 < 1.0)$



Note: ① At $\omega = \omega_1^*$, the response amplitude of the main mass alone is unbounded.

TMD가 있는 상황

Thus, if exciting frequency is close to the natural frequency of the main system ω_1^* and operating restrictions make it impossible to vary either one, the TMD can be used to reduce the response of the main system to near zero.

"TMD가 가지는 effect는 어떻게 하는 거지?"

운동관상 가진 주파수 및 main system 변위 (진폭 크기)의 변위가 불가능한 경우
(즉, 여기진상 $\omega_1 \approx \omega$ 인 것이 불가피한 경우)

② What should be the size of the absorber mass?

To answer this question, use Eq. (b)

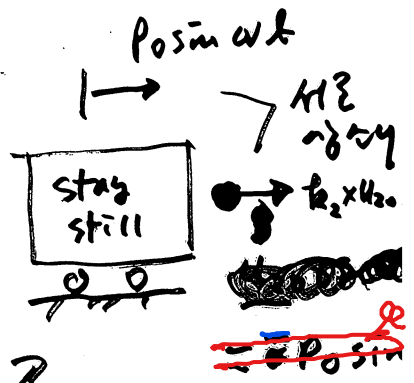
To answer this question, use Eq. (b) to determine the motion of the TMD at $\omega = \omega_2^*$

$$u_{20} = -\frac{P_0}{k_2}$$

The force acting on the absorber mass is

$$k_2 u_{20} = \omega^2 m_2 u_{20} = -P_0$$

$$k_2 u_2(t) = k_2 u_{20} \sin \omega t = -P_0 \sin \omega t$$



This implies that the absorber exerts a force equal and opposite to the exciting force.

따라서 m_2 및 k_2 의 선택은 u_{20} 의 허용치 상한선에 따라 된다. 다른 요인도 고려해야, mass가 충분히 상충할 수 있어야. Mass hatzoo가 비록 작은데 운동 주파수 범위도 넓은 것이

The use of Multiple TMD!

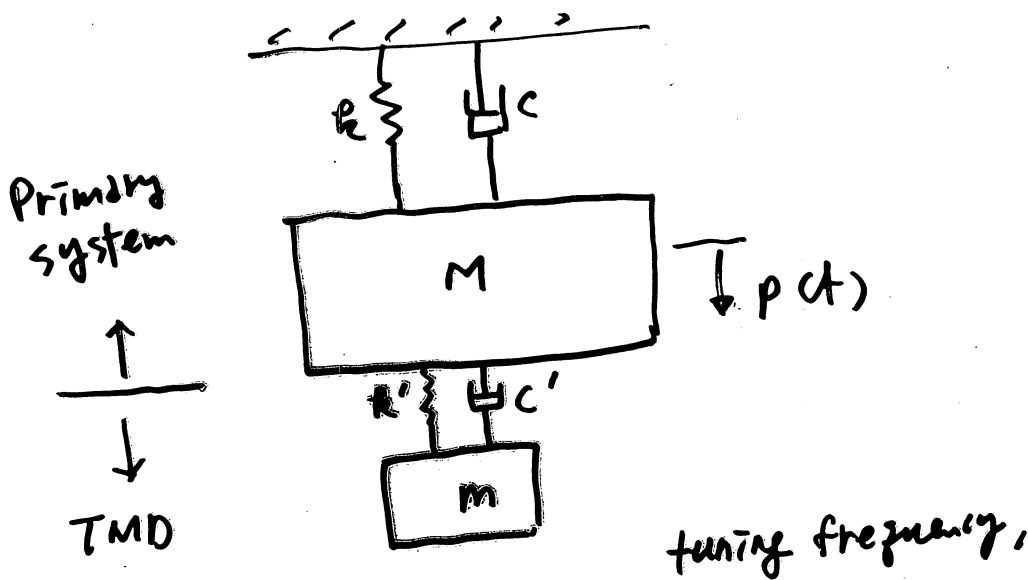
→ 왜냐하면 TMD는 1개 주파수에 특화된 것이므로 여러 주파수에 대해 다룰 수 없기 때문

use multi

However, vibration absorbers are also used in situation where the excitation is not nearly harmonic.

ex): Wind-induced vibration / floor vibration

"TMD $\frac{2}{2}$ 활용은 실제 문제 해결의 핵심:"



Find optimal mass (m) and damping parameters of a TMD.

Harmonic input

Ex) 조화하중 작용시 가속도 응답을 최소화하기 위한 최적 tuning 조건 알기

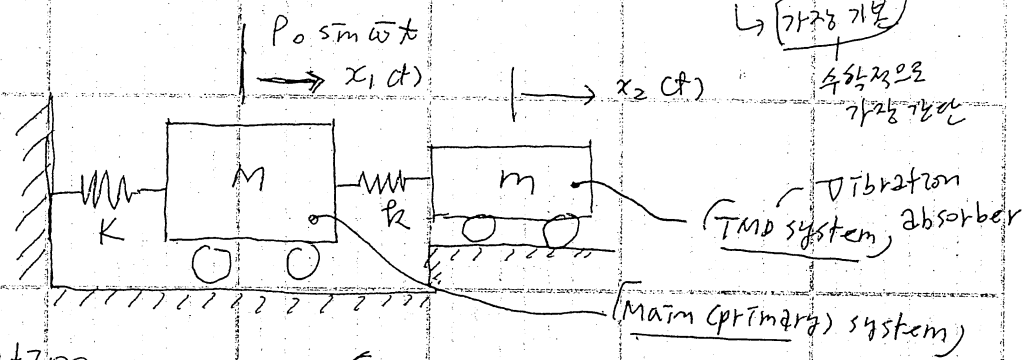
$$i) \frac{\omega_{TMD}}{\omega} = \frac{1}{\sqrt{1+\mu}}$$

$$ii) \xi_{TMD} = \sqrt{\frac{3\mu}{8(1+\mu/2)}}$$

where $\mu = m/M = \text{mass ratio}$

* 실제론 경장비를 높여 시정하도록 하는 최적 tuning 조건 찾기

2. Theory of "undamped TMDs" under Harmonic Loading



Eg. of motion

* (모달) 방법
 Mode superposition method 2차
 (가장 가벼운)

$$\begin{bmatrix} M & 0 \\ 0 & m \end{bmatrix} \begin{bmatrix} \ddot{x}_1 \\ \ddot{x}_2 \end{bmatrix} + \begin{bmatrix} K+k & -k \\ -k & k \end{bmatrix} \begin{bmatrix} x_1 \\ x_2 \end{bmatrix} = \begin{bmatrix} P_0 \\ 0 \end{bmatrix} \sin \bar{\omega} t \quad (1)$$

(비강의 이브) 정사상승 평응은 정사상승 평응가 태, 표준진동

$$\underline{x}(t) = \begin{bmatrix} a_1 \\ a_2 \end{bmatrix} \times \sin \bar{\omega} t \quad (2)$$

(2) → (1), a₁ & a₂ 이 값을 구하면

$$\frac{a_1}{x_{st}} = \frac{(1 - \frac{\bar{\omega}^2}{\omega_1^2})}{(1 - \frac{\bar{\omega}^2}{\omega_1^2})(1 + \frac{k}{K} - \frac{\bar{\omega}^2}{\omega_m^2}) - \frac{k}{K}} \quad (3)$$

$$\frac{a_2}{x_{st}} = \frac{1}{(1 - \frac{\bar{\omega}^2}{\omega_1^2})(1 + \frac{k}{K} - \frac{\bar{\omega}^2}{\omega_m^2}) - \frac{k}{K}} \quad (4)$$

where

$$\begin{cases} x_{st} = \frac{P_0}{K} \\ \omega_m^2 = \frac{K}{M} \\ \omega_1^2 = \frac{k}{m} \end{cases}$$

"attached"



Subject: _____

Job Number: _____

Date: _____

Job: _____

By: _____

Section: _____

(*) TMD 2 자유도 가진 구조물의 동역학

Checked By: _____

3

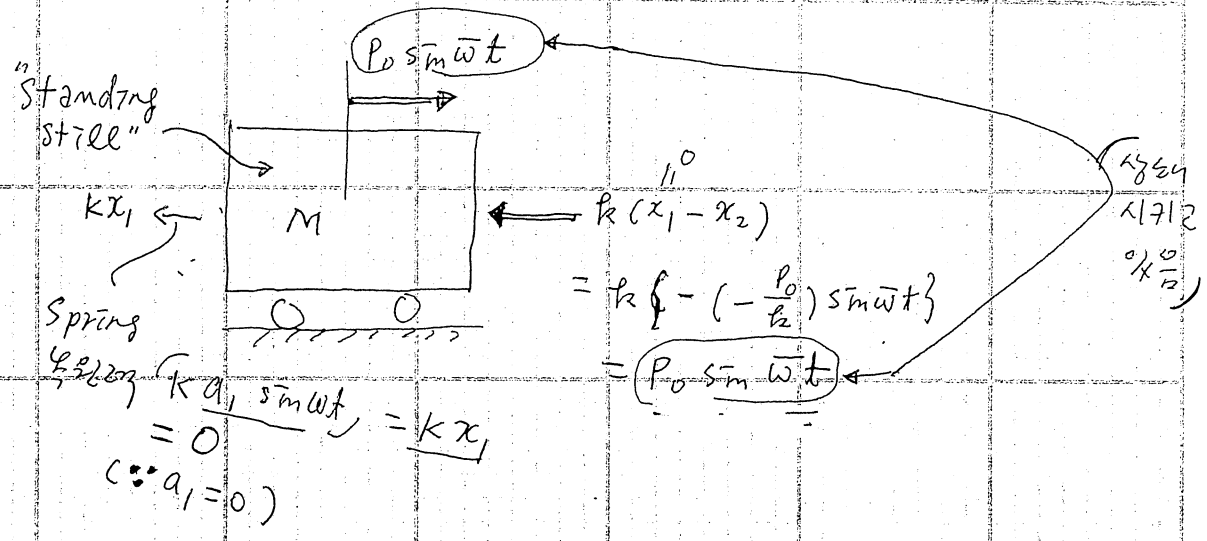
Page of

I.

(7) (3) 식에 의해,

$\omega_n = \sqrt{\frac{k}{m}} = \bar{\omega}$ 이면, $q_1 = 0$ 이 되는
2 자유도 중 진동치 없음, 이 경우 (4) 식에 의해

$$\frac{q_2}{x_{st}} = \frac{1}{0 - \frac{k}{k}} \quad \text{or} \quad q_2 = -\frac{k}{k} x_{st} = -\frac{P_0}{k} \quad \text{--- (5)}$$



II.

(7i) $\omega_n = \sqrt{\frac{k}{m}}$ 인 경우 (TMD 2 자유도 가진 구조물의 동역학)

$$\frac{k}{m} = \frac{k}{M}$$

* (mass or stiffness) ratio

$$\text{or, } \frac{k}{k} = \frac{m}{M} = \mu$$

(6) (TMD 2 자유도 가진 구조물의 동역학)

From Eq. (3) and (4),

$$\frac{q_1}{x_{st}} = \frac{\left(1 - \frac{\bar{\omega}^2}{\omega_n^2}\right)}{\left(1 - \frac{\bar{\omega}^2}{\omega_n^2}\right) \left(1 + \mu - \frac{\bar{\omega}^2}{\omega_n^2}\right) - \mu} \quad \text{--- (6)}$$

$$\frac{q_2}{x_{st}} = \frac{1}{\left(1 - \frac{\bar{\omega}^2}{\omega_n^2}\right)} \quad \text{--- (7)}$$



Subject: _____
 Job: _____

Job Number: _____ Date: _____
 By: _____ Section: _____

Checked By: _____ (4) Page of _____

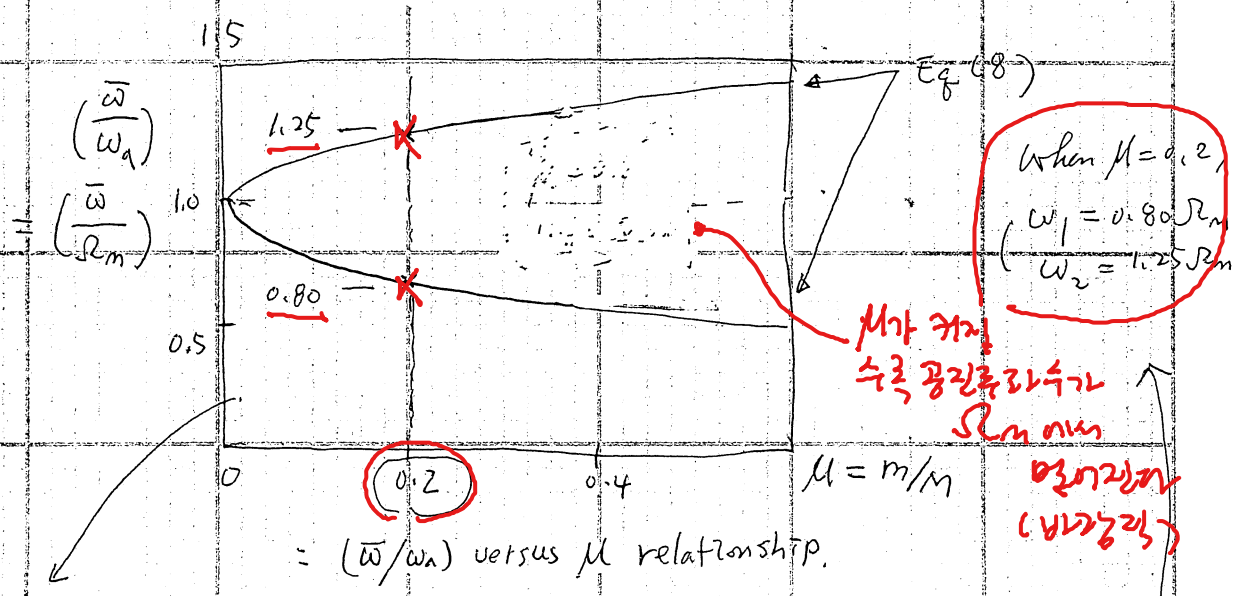
Note: (6), (7) 식의 분모 동일, $(\frac{\bar{\omega}}{\omega_a})^2$ 에 대한 2차 방정식이라서
 2개의 근이 존재, $\bar{\omega}$

$$\left(\frac{\bar{\omega}}{\omega_a}\right)^4 - \left(\frac{\bar{\omega}}{\omega_a}\right)^2 (2 + \mu) + 1 = 0$$

$$\left(\frac{\bar{\omega}}{\omega_a}\right) = \sqrt{1 + \frac{\mu}{2}} \pm \sqrt{\mu + \frac{\mu^2}{4}} \quad (= \frac{\bar{\omega}}{\omega_m}) \quad \dots (8)$$

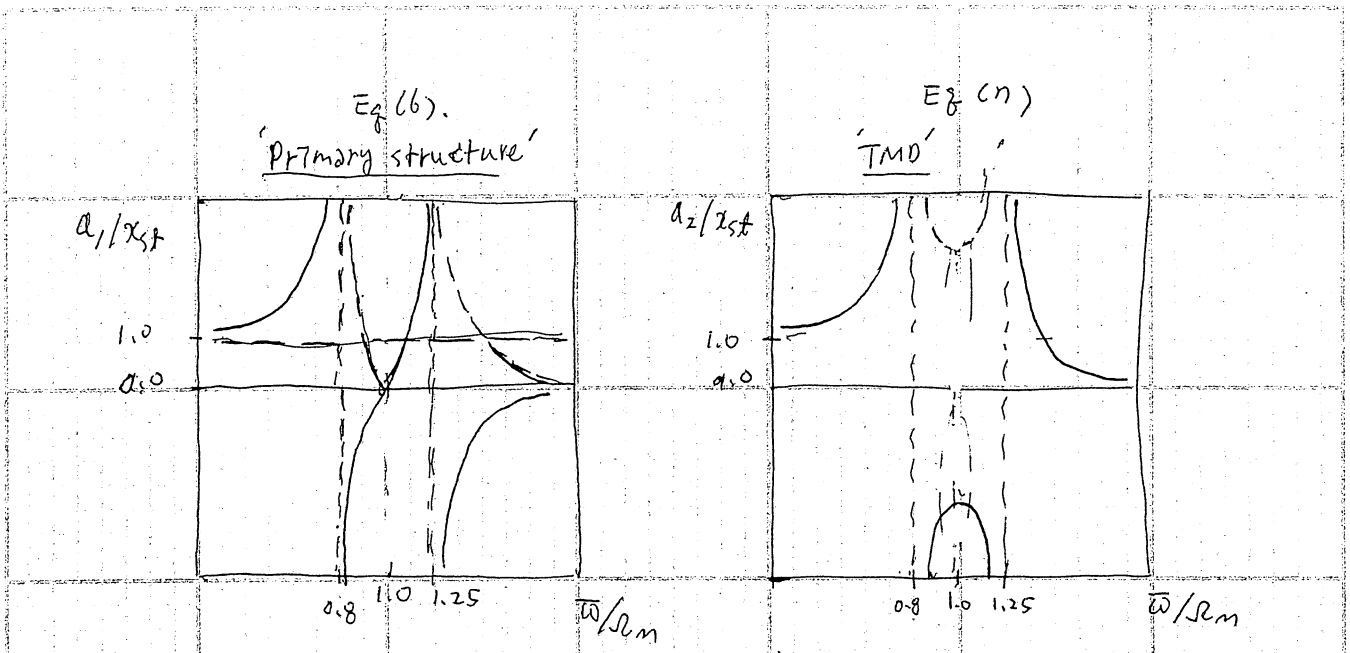
(ω_1, ω_2 중 ∞ 로 증폭시키는 주파수비로서 "즉주진해와 TMD"가
 결합된 시스템의 2개 고유주파수 중 양수 및 음수 값을)

↳ (고유진해와 결합하여 동일하게 있음)



= $(\bar{\omega}/\omega_a)$ versus μ relationship.

(4) mass ratio $\mu=0.2$ 로써 $\omega_a = \omega_m$ 이 되도록 tuning 하면
 가진주파수 $\bar{\omega}$ 가 ω_m (또는 ω_a)의 0.80 및 1.25배가 되면
 공진이 발생하고, 또한 의미하는, 이 2개의 공진주파수가
 전체 시스템의 2개 고유주파수이다")

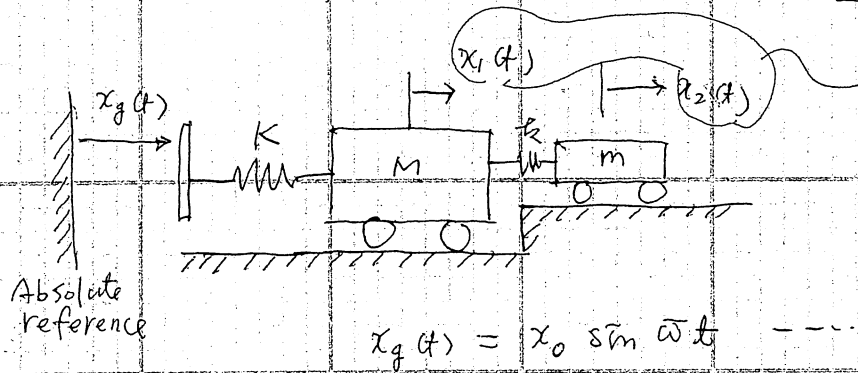


= Amplitude spectrum ($\omega_g = R_m, \mu = 0.2$)

~~3. Theory of Damped TMDs under Harmonic Loading~~

3. Theory of Undamped TMDs under "Harmonic Base Motion"

Just glance



→ 조화(비)진동
 모두 상대 변위
 노면 진동 같은
 이리
 support motion

$$x_g(t) = x_0 \sin \bar{\omega} t \quad \dots (1)$$

Equation of motion:

$$\begin{cases} M \frac{d^2}{dt^2} (x_g + x_1) + k x_1 + R (x_1 - x_2) = 0 \\ m \frac{d^2}{dt^2} (x_g + x_2) + R (x_2 - x_1) = 0 \end{cases}$$

$$\begin{cases} M \ddot{x}_1 + (k+R) x_1 - R x_2 = (M - \bar{\omega}^2 x_0) \sin \bar{\omega} t \\ m \ddot{x}_2 - R x_1 + R x_2 = (m \bar{\omega}^2 x_0) \sin \bar{\omega} t \end{cases} \quad \dots (2)$$

(2) 식의 $\underline{x} = \begin{bmatrix} x_1(t) \\ x_2(t) \end{bmatrix} = \begin{bmatrix} q_1 \\ q_2 \end{bmatrix} \times \sin \bar{\omega} t$ 이거나 해를 대입하여 a_1, a_2 를 구하면,
 Solution form

$$\frac{a_1}{x_0} = \frac{\bar{\omega}^2 \left[\frac{1}{\rho_m^2} \left(1 - \frac{\bar{\omega}^2}{\omega_q^2} \right) + \frac{1}{\omega_q^2} \left(\frac{R}{K} \right) \right]}{\dots} \quad (3)$$

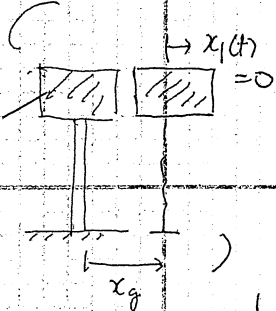
← (symbol은 이전과 동일함)

$$\frac{x_0}{a_1} = \left(1 - \frac{\bar{\omega}^2}{\omega_q^2} \right) \left(1 + \frac{R}{K} - \frac{\bar{\omega}^2}{\rho_m^2} \right) - \frac{R}{K}$$

$$\frac{a_2}{x_0} = \dots$$

i) The first tuning condition → $q_1 = 0$

↳ (main mass M 이 지반에 대한 상대변위가 zero 가 되도록, 즉 main mass M 이 지반과 같이 rigid 하게



이동하는 것이지 "구구곡곡"은 $x_g(t)$ 이 양여 (total) 가동되는 것으로 보아. main-spring on 용역은 없게 하라
 ↳ (stress-free)

↳ $q_1 = 0$ 이므로 (3) 식의 분자가 zero 가 되도록 하라

$$\frac{1}{\rho_m^2} \left(1 - \frac{\bar{\omega}^2}{\omega_q^2} \right) + \frac{1}{\omega_q^2} \left(\frac{R}{K} \right) = 0 \quad (4)$$

$$1 - \frac{\bar{\omega}^2}{\omega_q^2} + \left(\frac{m}{M} \right) \mu = 0$$

$$\left(\frac{\bar{\omega}}{\omega_q} \right)^2 = \mu + 1$$

$$\omega_q = \frac{\bar{\omega}}{\sqrt{1 + \mu}} \quad (5)$$



Subject: _____
 Job: _____

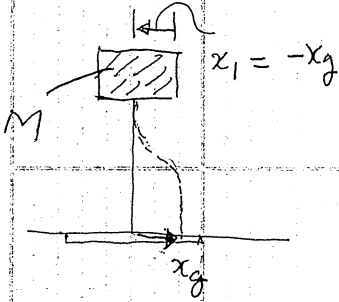
Job Number: _____ Date: _____
 By: _____ Section: _____
 Checked By: _____ Page _____ of _____

ii) The 2nd tuning condition

→ 이 두 값이 같아지도록
 조정하는 것

↳ Main mass의 정지조건이 0 →
 (이 두 값이 같아지도록 조정)

$$\begin{pmatrix} x_1 \\ \dots \\ x_n \end{pmatrix}^{total} = x_1 + x_g = 0$$



따라서 $x_1(t) = -x_g(t)$

→ $a_1 \sin \bar{\omega} t = -x_0 \sin \bar{\omega} t$

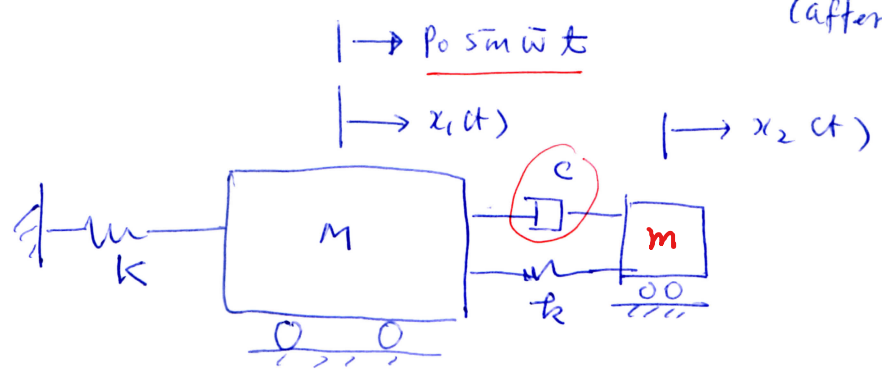
↳ (이 값이 $-k x_g(t)$ 의
 응답은 위와 같.)

∴ $a_1 = -x_0$, $\frac{a_1}{x_0} = -1$ 인 것

↳ 이 때의 경우
 정리

$\omega_g = \bar{\omega}$ (6)

4. Theory of Damped TMDs under Harmonic Loading
 (after Den Hartog 1985) (1956)



Eg. of motion:

$$\begin{cases} M \ddot{x}_1 + (k+k_2)x_1 - k_2 x_2 + c(\dot{x}_1 - \dot{x}_2) = P_0 \sin \bar{\omega} t \\ m \ddot{x}_2 + k_2(x_2 - x_1) + c(\dot{x}_2 - \dot{x}_1) = 0 \end{cases} \quad \dots (1)$$

Mode superposition method 사용 가능

정상 상용을 가하는 $\bar{\omega}$ 이 아닌 $\bar{\omega}$ 이므로
 미시적인 현상 복습을 잘 이해하여 풀어야 함 \rightarrow (복소 해석법 적용)

$$\begin{bmatrix} x_1(t) \\ x_2(t) \end{bmatrix} = \begin{bmatrix} C_1 \\ C_2 \end{bmatrix} e^{i\bar{\omega}t}$$

(미시적인 solution form 이 가능하냐?)
 (Unknown complex number)
 (복소 해석법 적용)

이러한 변수는 matrix mass M 이 전진 이므로

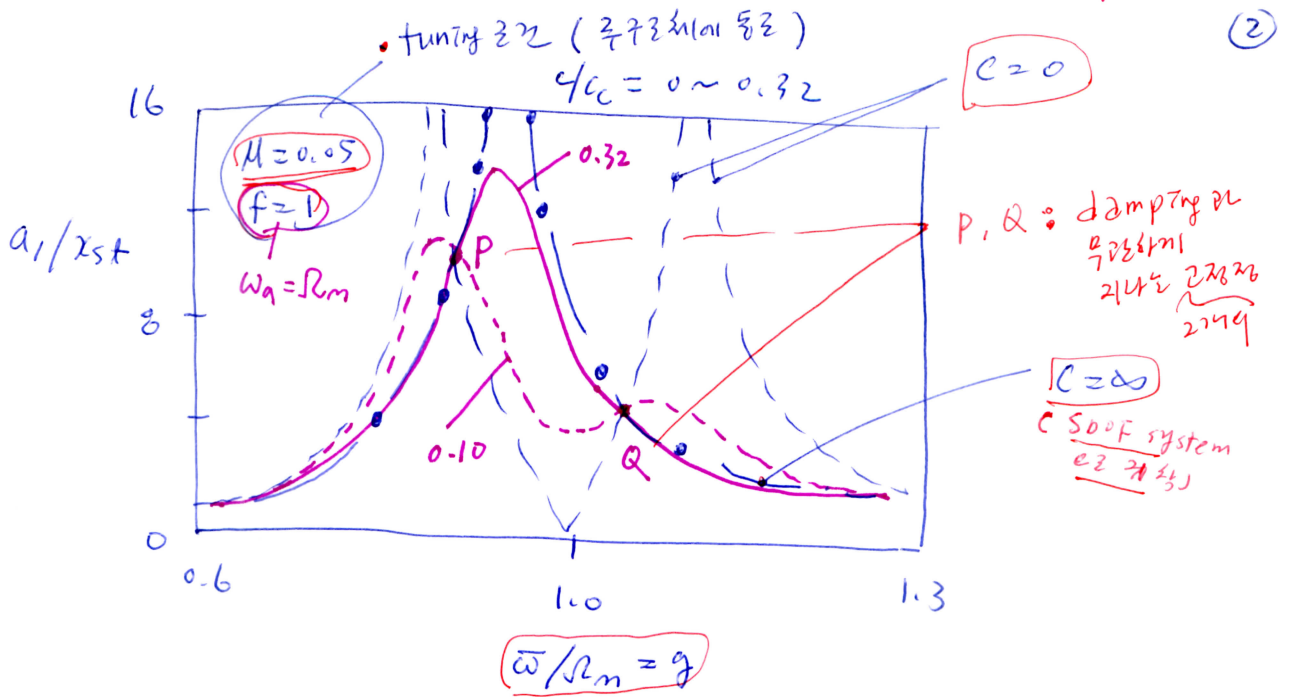
(2) \rightarrow (1) 이므로 a_1 을 구하면,
 모두 대수 (+, -, x, /) 연산

$$\frac{a_1}{x_{st}} \left(= \frac{|C_1|}{x_{st}} \right) = \left[\frac{(2 \frac{c}{c_c} g)^2 + (g^2 - f^2)^2}{(2 \frac{c}{c_c} g)^2 (g^2 - 1 + \mu g^2)^2 + [\mu f^2 g^2 - (g^2 - 1)(g^2 - f^2)]^2} \right]^{1/2} \quad \dots (3)$$

where $\mu = \frac{m}{M}$ (mass ratio)
 $\omega_q^2 = \frac{k_2}{m}$ (natural freq. of TMD)
 $\Omega_m^2 = k/M$ (natural freq. of primary structure)
 $f = \omega/\Omega_m$ (natural frequency ratio)
 $g = \bar{\omega}/\Omega_m$ (forcing " " " ")
 $C_2 = 2\omega_m m$ (= critical damping constant of TMD)

(4개 변수의 함수 $\mu, c/c_c, f, g$)
 $f = \frac{c}{c_c} \frac{\omega}{\Omega_m}$

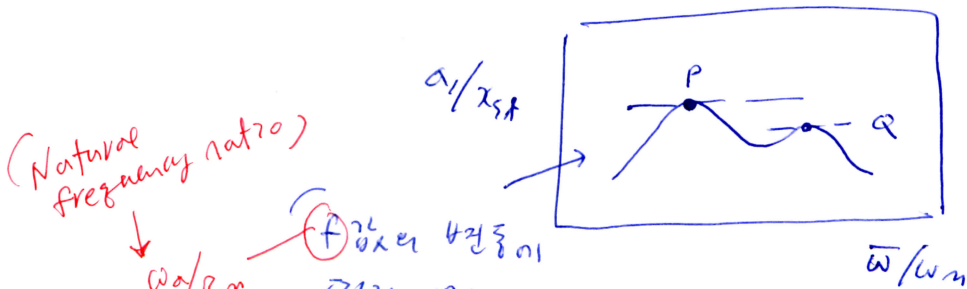
(동조 변수) $f = \frac{c}{c_c} \frac{\omega}{\Omega_m}$



- Note:
- i) $c=0 \rightarrow$ 비강쇠 TMD의 경우와 동일함 (공진값 ω)
 - ii) $c=\infty$ 이면, 2개 질량중 이차의 값에 따라 $(\frac{21}{20})$ 이하의 질량중을 갖는 SDOF계의 응답에 해당 (공진값 ω)

이 사이 어디에 'resonant peak'을 최소화시키려 하는
 c의 최적값이 존재할 것이다. \rightarrow The only purpose of a adding TMD

- iii) 위 2개의 4개 곡선은 damping ratio의 상한선이 모두 P, Q 정수
 지나고 있음. 만약 이들 위치가 정해져 수 있다면,
 가장 바람직한 곡선은 P, Q 정수의 정수 기우기가
 수평이 되는 것이다.



f 값의 변동이
 그러나 P(또는 Q)는 상응하는
 Q(또는 P)는 하응하는 거동)

- ① f 를 적절히 선택하여 P, Q의 높이가
 같아지도록 하면 이상적
- ② c/c_c 를 적절히 선택하여 응답곡선의
 정수 기우기가 줄어들도록 선택 (즉, P, Q 정수의 peak 값이 되도록)

(i) The location of P and Q (3)

(3) 식을 4차방정식으로

$$\frac{a_1}{x_{st}} = \left[\frac{A \left(\frac{c}{c_c}\right)^2 + B}{C \left(\frac{c}{c_c}\right)^2 + D} \right]^{1/2}$$

Damping-independent
 damping 독립
 (4) $\left(\frac{c}{c_c}\right)$ 가 독립
 $\frac{A}{C}$ factor out
 ← $\frac{B}{A}$ 와 $\frac{D}{C}$ 가 독립!

Where $A = (2g)^2$, $B = (g^2 - f^2)^2$, $C = (2g^2)(g^2 - 1 + \mu g^2)$
 $D = (\mu f^2 g^2 - (g^2 - 1)(g^2 - f^2))^2$

만약 $\frac{A}{C} = \frac{B}{D}$ 라면, $\frac{B}{A} = \frac{D}{C}$ 라면 관계가 성립, 따라서

$$\frac{a_1}{x_{st}} = \left[\frac{\left(\frac{A}{C}\right) \left(\frac{c}{c_c}\right)^2 + \frac{B}{C}}{\left(\frac{c}{c_c}\right)^2 + \frac{D}{C}} \right]^{1/2} = \left[\left(\frac{A}{C}\right) \left\{ \frac{\left(\frac{c}{c_c}\right)^2 + \frac{B}{A}}{\left(\frac{c}{c_c}\right)^2 + \frac{D}{C}} \right\} \right]^{1/2}$$

(4) 식이
 성립

damping-independent
 해라!!!

$\frac{B}{A} = \frac{D}{C}$ 가
 성립.

$$\frac{A}{C} = \frac{B}{D} \quad \text{--- (5)}$$

(5) 식을 풀면,

$$g^4 - 2g^2 \frac{1+f^2+\mu f^2}{2+\mu} + \frac{2f^2}{2+\mu} = 0 \quad \text{--- (6)}$$

이 2차방정식의 두 근이 2차방정식 P, Q $\frac{2}{2}$

(6) 식의 두 근은 (3) 식이 damping-independent 이 값을 등치시키면 $\left(\frac{2}{2}, P \text{ and } Q \text{의 값이 같을 것임을 보이기}$)

$$f = \frac{1}{1+\mu} \quad \text{--- (7)}$$

a simple relation.
 (very)

(ii) Find the optimal damping $(c/c_{cr})_{opt}$

(a) 사실 (3) 사이 때임 하근 g 이 대형 이므로 $\bar{\omega}$ 이 $\bar{\omega}/\bar{\omega}_m$

(b) 사이 이므로 $\bar{\omega}$ 가 zero 가 되도록 하여 $(c/c_{cr})_{opt}$ $\frac{3}{8}$ 구하면,

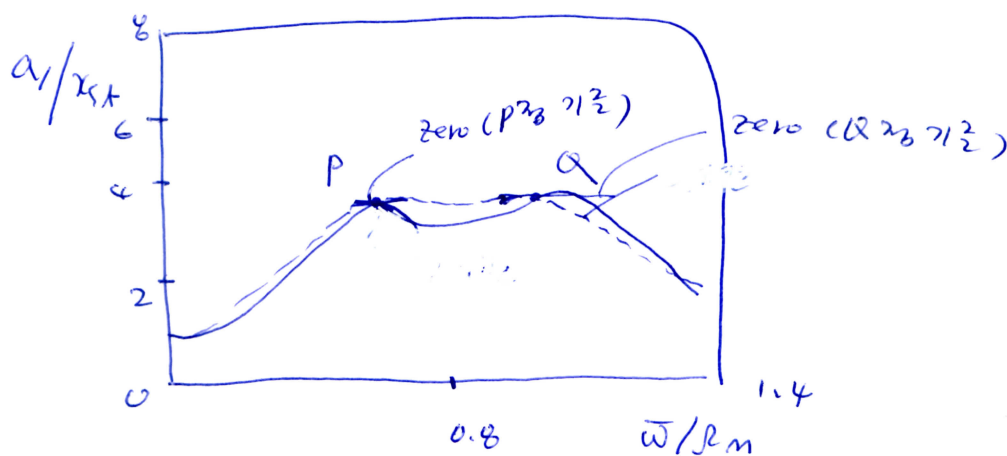
$$\left(\frac{c}{c_c}\right)_{opt-P}^2 = \frac{\mu \left(3 - \sqrt{\frac{\mu}{\mu+2}}\right)}{8(1+\mu)^3} \quad \dots (8)$$

$$\left(\frac{c}{c_c}\right)_{opt-Q}^2 = \frac{\mu \left(3 + \sqrt{\frac{\mu}{\mu+2}}\right)}{8(1+\mu)^3} \quad \dots (9)$$

평균 값

↓
mean value

Ex) $\mu = 0.25$ (or $f = 0.80$) 일 때



For practical applications, the two curves are almost identical. In practice, the mean value of Eq. (8) and (9) is used.

$$\left(\frac{c}{c_c}\right)_{opt} = \sqrt{\frac{3\mu}{8(1+\mu)^3}} \quad \dots (10)$$

5. Application to Earthquake Engineering

상충하는 최적기법은 (구조가전역에 따른 비가역적 선형 SDOF 계의 변위 응답을 최소화하는 기준) 이 근거는 그러나 비선형응답의 특이성에서도 많은 개선의 노력이 있다.

- i) 동적구조물은 거의 MDOF 계임
- ii) TMD를 설치해도 비선형 거동을 경험할 수 있음
- iii) 지진하중은 random process loading 이
- iv) 변위 외의 다른 기준이 필요할 수도 (ex- 가속도 기준)

previous studies (Soong and Dargush 1997) (최적 기준 요약)

- ✓ 구조물의 최소 변위 (Den Hartog 1985, ...)
- ✓ ...
- ✓ Min. force in the main structure (Warburton 1982)

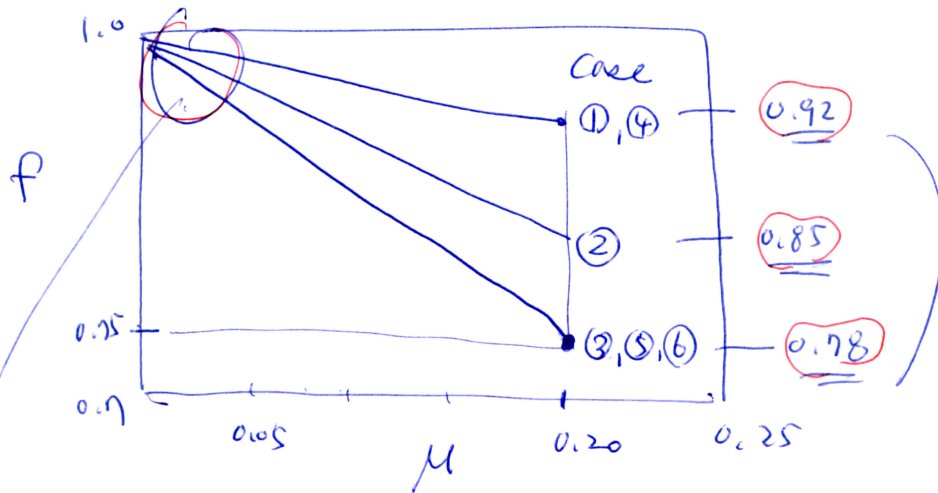
Table 1: Optimal tuning conditions for Damped TMDs attached to Undamped primary structure.

| Loading | Optimization criteria | Optimum tuning conditions | |
|---|-----------------------|--------------------------------|--|
| | | $f (= \omega / \omega_m)$ | c/c_c |
| 구조물 전체가진 (Den Hartog) | ① 구조물 최소 상대 변위 | $(\frac{1}{1+\mu})$ | $\sqrt{3\mu / 8(1+\mu)^3}$ |
| | ② 구조물 최소 상대 가속도 | $(\frac{1}{\sqrt{1+\mu}})$ | $\sqrt{3\mu / 8(1+\mu/2)}$ |
| 구조물 리본가진 | ③ 구조물 최소 상대 변위 | $\frac{\sqrt{1-\mu/2}}{1+\mu}$ | $\sqrt{\frac{3\mu}{8(1+\mu)(1-\mu/2)}}$ |
| | ④ 구조물 최소 상대 가속도 | $\frac{1}{1+\mu}$ | $\sqrt{\frac{3\mu}{8(1+\mu)}}$ |
| 구조물 random 가진 Random base acceleration | ⑤ 구조물 상대 변위 최소 RMS | $\frac{\sqrt{1-\mu/2}}{1+\mu}$ | $\sqrt{\frac{\mu(1+3\mu/4)}{4(1+\mu)(1-\mu/2)}}$ |
| | ⑥ " | $\frac{\sqrt{1-\mu/2}}{1+\mu}$ | $\sqrt{\frac{\mu(1-\mu/4)}{4(1+\mu)(1-\mu/2)}}$ |

Notes: i) For very small TMDs ($\mu \approx 0$) \rightarrow "f = 1.0"

ii) Optimal damping constant ξ exists mass ratios $\delta \approx 0.6$

iii) optimal frequency tuning θ is



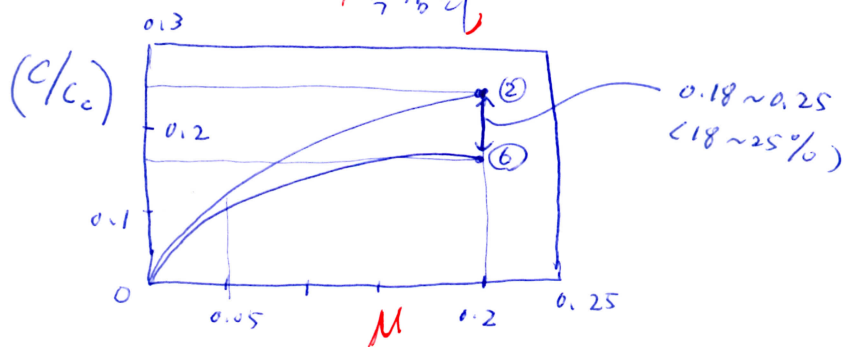
exists mass ratios \exists ξ $\omega \approx \frac{\omega_2}{2}$

iv) Random base acceleration (case 6) \rightarrow ξ is

$$\left(\frac{c}{c_{cr}}\right)^2 = \frac{\mu(1-\mu/4)}{4(1+\mu)(1-\mu/2)} = \frac{\mu - \frac{1}{4}\mu^2}{4(1 + \frac{1}{2}\mu - \frac{1}{2}\mu^2)}$$

$$= \frac{\mu - \frac{1}{4}\mu^2}{4 + 2\mu - 2\mu^2}$$

$\lim_{\mu \rightarrow 0} (c/c_{cr}) = 0$ (as $\mu \rightarrow 0$ case ξ is 0)
 \neq ξ is 0

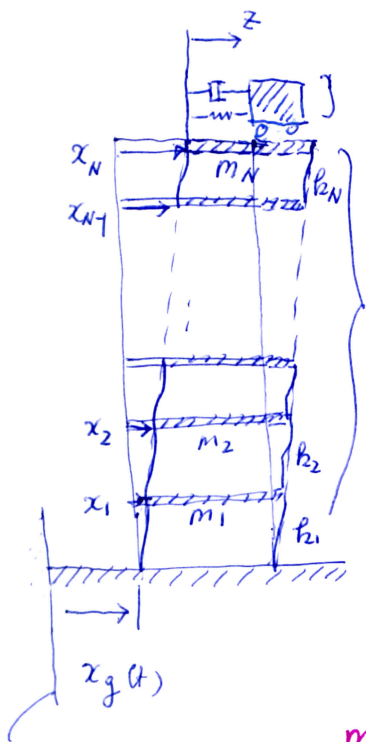


6. Analysis of structures with TMDs

o 상가적인 TMD tuning은 SDOF 미미한 유희

↳ 즉 안정 크라수이만 동조시키는 것 있음

o 다층층의 building structures → MDOF 기 → (가장 리버적인 모드는 1차 진동 모드에 동조시키는 것이 가장 효과적)

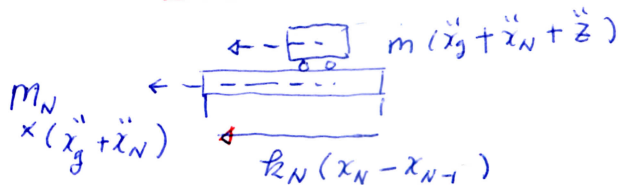


"TMDs on the roof" : m, c, k

* $z(t)$ 는 리버성 변위 $x_N(t)$ 에 대한 상대변위로 정의됨, $x(t)$ 는 리버성에 대한 상대변위로 정의됨.

Primary structure : K, M
(no damping)

"리버성 운동방정식"



$$m_N \ddot{x}_N + k_N (x_N - x_{N-1}) = -m_N x \ddot{x}_g - m (\ddot{x}_g + \ddot{x}_N + \ddot{z})$$

Absolute reference

Modeling of MDOF structure with TMD on Roof $(\ddot{z} + k_N z)$

"(N+1)개의 2개의 변위 상미방정식"

$$\begin{cases} \underline{M} \ddot{\underline{x}}(t) + \underline{K} \underline{x}(t) = -\underline{M} \underline{1} \ddot{x}_g(t) + \underline{P}(t) & \text{--- (1)} \\ m \ddot{z} + c \dot{z} + k z = -m \ddot{x}_N - m \ddot{x}_g & \text{--- (2)} \end{cases}$$

(1) 구조 전체 운동 방정식
(2) TMD 운동 방정식

Where $\underline{P}(t) = \begin{bmatrix} 0 \\ \vdots \\ c \dot{z} + k z \end{bmatrix} = \begin{bmatrix} 0 \\ \vdots \\ -m (\ddot{z} + \ddot{x}_N + \ddot{x}_g) \end{bmatrix}$

"나머지 기호 라면"

(2)식 이용

③

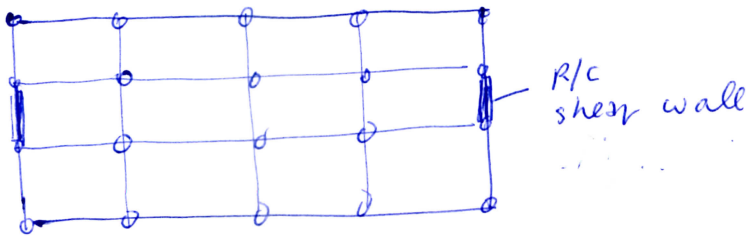
결론, (*), (**), (***) 식은 불완전으로 같은 운동방정식임을
 알 수 있다. 단 SDOF 미의 질량이나 강성 대신에
modal 질량으로 대체하면 된다. 따라서 MDOF 미의
 1차진동 모드에 대한 tuning 은 선형 "2-DOF primary-
 TMD system" 의 경우와 동일하다.

단, $\mu = \frac{m}{M_1}$; $\omega_N = \omega_1$ ----- (5)

- Note :
- i) This approach can also be used to mitigate the vibrations of any other mode
 - ii) A structure equipped with a TMD may, nevertheless, experience inelastic deformations during a strong earthquake.
 ↳ (강성 변화 (지하) → 크기 변화 → may lose its effectiveness due to a de-tuning effect.)

9. An Example Response Analysis of Inelastic Buildings With TMDs (by Carr 2005)

Building model



$f = \frac{\omega_a}{\sqrt{2\mu}}$ $T_1 = 1.64$ (sec)

$T_a = \frac{2\pi}{\omega_a}$

| μ | T_a | c/c_c |
|-------|-------|---------|
| 0.05 | 1.72 | 0.13 |
| 0.10 | 1.80 | 0.17 |
| 0.20 | 1.97 | 0.21 |

Design information :

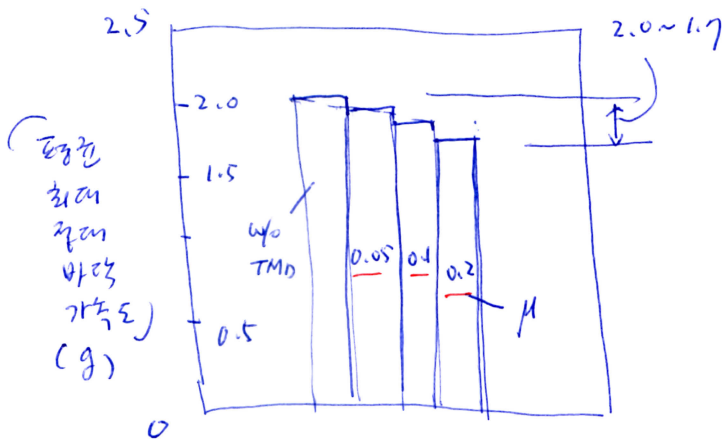
- i) 10 story shear wall bldg
- ii) $T_1 = 1.64$ (s) (gross section property-based)
- iii) 남가주 수평의 지진 위험도에 따라 (Canada 기준에 따름)
- iv) 건물 1/2 part에 따라 2차진동함수
- v) TMD 유형 : harmonic base acceleration → $f = \frac{1}{1+\mu}$; $c/c_c = \sqrt{\frac{3\mu}{8(1+\mu)}}$
- vi) RUAUMOKO 이용함 -

↑
 Tables case (4)

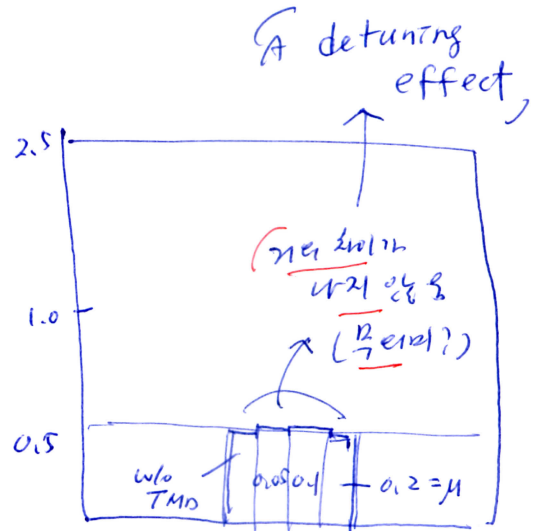
Input ground motions

↳ 인공지진동 모형 (a spectrum compatible Gaussian noise model, by Papageorgiou - AKI 1983)

Some of analysis results



∴ Elastic response
(무손상 강도인 경우)



∴ Inelastic response
(more realistic)

↑
(가속도가 상응함 !!)

↓
(상대 변위보다 비선형 해석을 통해 비선형 거동도 고려
(pushover)
증가 강도 고려한 분석)

Part 1: Tuned Mass Dampers

Application of TMDs to attenuate floor vibration by *Steel Structures and Seismic Design Lab (2016)*

